

การศึกษาระบบส่งกำลังและคลัตช์ชนิดลูกปืนของรถไถพรวนดินขนาดเล็ก

นายเอกอุ ธรรมกรบัญญัติ

ศูนย์วิทยทรัพยากร จุฬาลงกรณ์มหาวิทยาลัย

วิทยานิพนธ์นี้เป็นส่วนหนึ่งของการศึกษาตามหลักสูตรปริญญาวิศวกรรมศาสตรมหาบัณฑิต
สาขาวิชาวิศวกรรมเครื่องกล ภาควิชาวิศวกรรมเครื่องกล
คณะวิศวกรรมศาสตร์ จุฬาลงกรณ์มหาวิทยาลัย
ปีการศึกษา 2544

ISBN 974-17-0277-9

ลิขสิทธิ์ของจุฬาลงกรณ์มหาวิทยาลัย

STUDY OF THE POWER TRANSMISSION AND BALL CLUTCH OF A SMALL MOTOR TILLER

Mr. Ek-u Thammakornbunjut

คุณย์วิทยารัพยากร

A Thesis Submitted in Partial Fulfillment of the Requirements
for the Degree of Master of Engineering in Mechanical Engineering

Department of Mechanical Engineering

Faculty of Engineering

Chulalongkorn University

Academic Year 2001

ISBN 974-17-0277-9

หัวข้อวิทยานิพนธ์

การศึกษาระบบส่งกำลังและคลัตช์ชนิดลูกปืนของรถไก่พวน
ดินขนาดเล็ก

โดย

นายเอกอุ ธรรมกรบัญญัติ

สาขาวิชา

วิศวกรรมเครื่องกล

อาจารย์ที่ปรึกษา

ศาสตราจารย์ ดร.สุรินทร์ พงศ์ศุภสิมิที

คณะวิศวกรรมศาสตร์ จุฬาลงกรณ์มหาวิทยาลัย อนุมัติให้นับวิทยานิพนธ์ฉบับ
นี้เป็นส่วนหนึ่งของการศึกษาตามหลักสูตรปริญญามหาบัณฑิต

คณะดีดีคณะวิศวกรรมศาสตร์

(ศาสตราจารย์ ดร.สมศักดิ์ ปัญญาแก้ว)

คณะกรรมการสอบวิทยานิพนธ์

ประธานกรรมการ

(รองศาสตราจารย์ ดร.วิทยา ยงเจริญ)

อาจารย์ที่ปรึกษา

(ศาสตราจารย์ ดร.สุรินทร์ พงศ์ศุภสิมิที)

กรรมการ

(ศาสตราจารย์ ดร.ปราโมทย์ เดชะอมาที)

กรรมการ

(ผู้ช่วยศาสตราจารย์ ฉัตรชัย วงศ์อุเทน)

เอกสาร ชื่อเรียนบัญญัติ : การศึกษาระบบส่งกำลังและคลัตช์ชนิดลูกปืนของรถไถพรวนดินขนาดเล็ก (STUDY OF THE POWER TRANSMISSION AND BALL CLUTCH OF A SMALL MOTOR TILLER) อ.ที่ปรึกษา ศ.ดร. สุรินทร์ พงศ์คุณสมิทธิ์, 180 หน้า. ISBN 974-17-0277-9

วิทยานิพนธ์นี้มีวัตถุประสงค์เพื่อศึกษาและวิเคราะห์ระบบส่งกำลังของรถไถพรวนดินขนาดเล็ก และกลไกการทำงานของคลัตช์บังคับเลี้ยวชนิดลูกปืน โดยแบ่งการศึกษาเป็น 3 ส่วน ส่วนที่หนึ่งเป็นการศึกษาการสูญเสียภายในระบบส่งกำลัง แบ่งเป็นการทดลองวัดแรงเสียดทานสติกเกอร์ในห้องส่งกำลัง และการทดลองวัดกำลังสูญเสียภายในระบบส่งกำลัง ส่วนที่สองเป็นการศึกษาผลของการที่เพลาล้อที่มีต่อประสิทธิภาพการส่งกำลัง และแรงที่ใช้ในการบีบคลัตช์บังคับเลี้ยว โดยการที่ใส่ที่เพลาล้อนั้นเป็นลักษณะของภาระที่เกิดจากการต่อพ่วงรถไถพรวนดินด้วยอุปกรณ์ต่อพ่วง 3 ชนิด คือ รถพ่วง ไถ และล้อพรวนดิน อนึ่งการทดลองในส่วนที่หนึ่งและส่วนที่สองเป็นการทดลองในระดับห้องปฏิบัติการ ส่วนที่สามเป็นการศึกษาลักษณะของกลไกและการคำนวณแรงกระทำภายในคลัตช์ชนิดลูกปืน และการหาค่าความปลดภัยที่ใช้ในการออกแบบคลัตช์ชนิดลูกปืน

จากผลการทดลองในส่วนที่หนึ่งพบว่า แรงเสียดทานสติกเกอร์ในห้องส่งกำลังจะเพิ่มขึ้นตามการเพิ่มอุณหภูมิของน้ำมันหล่อลื่นภายในห้องส่งกำลัง และมีแนวโน้มเพิ่มขึ้นตามความเร็วรอบหมุนของเพลาล้อ นอกจากนี้แล้วกำลังสูญเสียภายในระบบส่งกำลังก็เพิ่มขึ้นตามความเร็วรอบเครื่องยนต์ และการเพิ่มอุณหภูมิของน้ำมันหล่อลื่นภายในห้องส่งกำลัง จากผลการทดลองในส่วนที่สองพบว่า ประสิทธิภาพการส่งกำลังแปรผันตามอัตราทดเกียร์ ส่วนแรงที่ใช้ในการบีบคลัตช์บังคับเลี้ยวนั้น พบว่า แรงมากสุดที่ทำให้คลัตช์เข้าจะมีค่าค่อนข้างคงที่ทั้งในการณ์ที่มีและไม่มีภาระที่เพลาล้อ แต่แรงน้อยสุดที่ทำให้คลัตช์ออกจากจะมีค่าไม่คงที่ขึ้นกับความเร็วรอบเครื่องยนต์และภาระที่เพลาล้อ และจากผลการทดลองในส่วนที่สามพบว่า รูปร่างของชิ้นส่วนภายในคลัตช์มีผลต่อแรงบิดที่เพลาล้อ นอกจากนี้เนื่องจากไม่ทราบคุณสมบัติของวัสดุและกรรมวิธีการผลิตคลัตช์ชนิดลูกปืน จึงได้เสนอแนวทางในการหาค่าความปลดภัยที่ใช้ในการออกแบบเพื่อเป็นพื้นฐานในการศึกษาและวิจัยต่อไป

จุฬาลงกรณ์มหาวิทยาลัย

ภาควิชา วิศวกรรมเครื่องกล
สาขาวิชา วิศวกรรมเครื่องกล
ปีการศึกษา 2544

ลายมือชื่อนิสิต เอกุ ธรรมกานต์
ลายมือชื่ออาจารย์ที่ปรึกษา
ลายมือชื่ออาจารย์ที่ปรึกษาร่วม

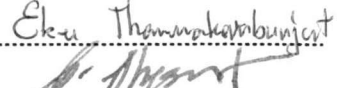
4170660921 : MAJOR MECHANICAL ENGINEERING

KEY WORD: POWER TRANSMISSION / BALL CLUTCH / ATTACHMENTS / SAFETY FACTOR

EK-U THAMMAKORN BUNJUT : STUDY OF THE POWER TRANSMISSION AND
BALL CLUTCH OF A SMALL MOTOR TILLER. THESIS ADVISOR : PROF. SURIN
PHONGSUPASAMIT, D.Agr. 180 pp. ISBN 974-17-0277-9.

The objectives of this thesis are to study the power transmission system and ball clutch mechanisms of a small motor tiller. The thesis is divided into 3 parts; Part 1 studies losses in the power transmission system by measuring static friction in the power transmission case as well as the power loss in power transmission system. Part 2 concerns with the effects of load wheel axle on the power transmission efficiency and the force required to operate steering clutch. The characteristics of the applied load depend on the attachments at trailer, moldboard plow and drum rotor. Part 3 analytically calculates the mechanisms and forces in ball clutch, and obtains the factor of safety for ball clutch design.

The experimental results in part 1 indicated that the static friction in power transmission case increased as the temperature of lubricating oil in the case increased. The static friction also tended to increase with axle speed. The power loss in power transmission system increased as speed of the engine and lubricating oil temperature in power transmission case increased. The results from part 2 showed that the increase of power transmission efficiency with increasing gear ratio. The maximum required force used for steering clutch engagement on the axle was almost constant in any loading and unloading cases. But the minimum required force for disengagement of the clutch was not constant, but depended on speed of the engine and the magnitude of loads on the axle wheels. The results of part 3 indicated that the values of torsion on the axles were influenced by the shape of internal mechanisms of ball clutch. Finally, a method for selection of safety factor used in the design of ball clutch, when no information about properties of the material and the clutch manufacturing process are available, was also shown and could be used in further studies.

Department Mechanical Engineering Student's signature 
Field of study Mechanical Engineering Advisor's signature 
Academic year 2001 Co-advisor's signature

กิตติกรรมประกาศ

วิทยานิพนธ์ฉบับนี้สำเร็จลุล่วงได้ด้วยความช่วยเหลืออย่างดียิ่งของ ศาสตราจารย์ ดร. สุรินทร์ พงศ์ศุภสิมท์ อาจารย์ที่ปรึกษาวิทยานิพนธ์ ซึ่งผู้วิจัยขอกราบขอบพระคุณเป็นอย่างสูงที่ ท่านได้ให้ทั้งความรู้ คำแนะนำ ตลอดจนคำปรึกษาที่มีคุณค่ายิ่งในการนำไปประยุกต์ใช้ในงานวิจัย และการทำงานในอนาคต

ขอกราบขอบพระคุณ รองศาสตราจารย์ ดร.วิทยา ยงเจริญ ประธานกรรมการ ศาสตราจารย์ ดร.ปราโมทย์ เดชะอ่าໄ皮 และผู้ช่วยศาสตราจารย์ ฉัตรชัย วงศ์อุเทน กรรมการที่ได้ให้คำแนะนำ ตลอดระยะเวลาทำงานวิจัย ทำให้วิทยานิพนธ์ฉบับนี้มีความสมบูรณ์มากขึ้น

ขอกราบขอบพระคุณ รองศาสตราจารย์ ดร.วิทยา ยงเจริญ ที่กรุณาให้ยืมเครื่อง Dial gauge และเครื่อง Digital strain bridge ขอกราบขอบพระคุณ Prof. Jun Sakai ที่กรุณาให้คำแนะนำและ แนวคิดที่เป็นประโยชน์ในการทำวิทยานิพนธ์

ขอขอบพระคุณ บริษัท HONDA R&D Southeast Asia ที่กรุณาให้ยืมรถไตรถูวนดินขนาดเล็ก ขอขอบพระคุณ คุณวีระพจน์ พ่อถิラ ที่กรุณาให้คำแนะนำและความช่วยเหลือต่างๆ ขอ ขอบพระคุณ กองเกษตรวิศวกรรม ที่กรุณาให้เชสสถานที่และอุปกรณ์เครื่องมือต่างๆ ในการทดลอง ขอขอบพระคุณ คุณอัคคพล เสนາณรงค์ รวมทั้งวิศวกรและช่างเทคนิคของกองเกษตรวิศวกรรมที่ กรุณาให้คำแนะนำและความช่วยเหลือต่างๆ ในการทดลอง ขอขอบพระคุณ คุณเสวย เกตุนาค คุณ สุบิน ขันดี และคุณโกวิท โภผล ที่กรุณาให้ความช่วยเหลือในการสร้างชุดทดลองและซ่อมแซม อุปกรณ์การทดลอง รวมทั้งให้ยืมเครื่องมือต่างๆ ในการสร้างชุดทดลอง

ขอขอบพระคุณ คุณชนัดต์ รัตนสุมาวงศ์ คุณไพบูลย์ มนิตย์โชคพิสิฐ คุณชนวัช ศรีเจริญชัย ตลอดจนเพื่อนๆ รุ่นพี่ และรุ่นน้องปริญญาโททุกท่านที่ได้ช่วยเหลือในหลายๆ ด้าน ขอขอบคุณ คุณ ปิติ เลิศลุมพลีพันธุ์ คุณสุรุ่ย วิจารณ์ คุณชนิวัฒน์ วิริยาવัฒน์ คุณวีรชัย สงวนโชควนิชย์ คุณศีลวัต สมศรี และคุณวุฒิ อุยุ่น้อย น้องนิสิตปริญญาตรีที่ช่วยสร้างชุดทดลอง และช่วยทำการทดลองจนการ วิจัยนี้เสร็จสมบูรณ์

สุดท้ายนี้ผู้วิจัยขอกราบขอบพระคุณบิดาරดา ที่ให้กำลังใจและสนับสนุนการศึกษาของผู้ วิจัยเสมอมา และคุณค่าอันได้ที่ได้รับจากวิทยานิพนธ์ฉบับนี้ ขอขอบเป็นกตัญญูตามชาแด่บิดา มารดา ครูอาจารย์ ตลอดจนผู้มีพระคุณทุกท่าน

สารบัญ

	หน้า
บทคัดย่อภาษาไทย	ง
บทคัดย่อภาษาอังกฤษ	จ
กิตติกรรมประกาศ	ฉ
สารบัญ	ช
สารบัญตาราง	ฉ
สารบัญภาพ	ญ
คำอธิบายสัญลักษณ์	อ
บทที่ 1 บทนำ	1
1.1 ความสำคัญและที่มาของวิทยานิพนธ์	1
1.2 วัตถุประสงค์ของวิทยานิพนธ์	4
1.3 ขอบเขตของวิทยานิพนธ์	4
1.4 ประโยชน์ที่ได้รับจากวิทยานิพนธ์	4
1.5 ปริทัศน์วรรณกรรม	5
บทที่ 2 ระบบส่งกำลังของรถไ波รวมดินขนาดเล็ก	9
2.1 สมรรถนะของระบบส่งกำลัง	9
2.2 การสูญเสียภายในระบบส่งกำลัง	11
2.3 ความสัมพันธ์ระหว่างกำลังเครื่องยนต์ กำลังที่เพลาล้อ ^{และกำลังสูญเสีย}	14
บทที่ 3 คลัตช์ที่ใช้ในรถไ波เดินตาม	16
3.1 คลัตช์หลัก	16
3.2 คลัตช์บังคับเลี้ยว	19
บทที่ 4 อุปกรณ์การเก็งตระที่นำมาต่อพ่วงกับรถไ波เดินตาม	23
4.1 รถพ่วง	24
4.2 ไถหัวหมุน	30
4.3 ส้อพรวนดิน	35
บทที่ 5 อุปกรณ์และวิธีการทดลอง	39
5.1 อุปกรณ์ที่ใช้ในการทดลอง	39
5.2 วิธีการปรับเทียบและผลการปรับเทียบเครื่องมือวัด	40
5.3 วิธีการทดลอง	50
บทที่ 6 ผลการทดลองและอภิปรายผลการทดลอง	60
6.1 ผลการทดลองและอภิปรายผลการทดลองในส่วนของการวัด	

หน้า

แรงเสียดทานสถิติภายในห้องส่งกำลัง	60
6.2 ผลการทดลองและอภิปรายผลการทดลองในส่วนของการวัด กำลังสูญเสียภายในระบบส่งกำลัง	61
6.3 ผลการทดลองและอภิปรายผลการทดลองในส่วนของการวัด ประสิทธิภาพการส่งกำลัง	67
6.4 ผลการทดลองและอภิปรายผลการทดลองในส่วนของการวัด แรงที่ใช้ในการบีบคลัตซึ่งบังคับเลี้ยว	94
บทที่ 7 การศึกษาลักษณะทางการภาพและการคำนวณแรงกระทำภายใน คลัตช์ชนิดลูกปืน	109
7.1 ลักษณะทางกายภาพของคลัตช์ชนิดลูกปืน	109
7.2 การคำนวณแรงกระทำภายในคลัตช์ชนิดลูกปืน	110
7.3 อภิปรายผลการศึกษาและการคำนวณ	111
บทที่ 8 บทสรุป	118
รายการอ้างอิง	123
บรรณานุกรม	124
ภาคผนวก	125
ภาคผนวก ก ข้อมูลจำเพาะของรถไถพรอนдинที่ใช้ในการทดลอง	126
ภาคผนวก ข รายละเอียดเครื่องมือวัดและอุปกรณ์ต่างๆ ที่ใช้ในการทดลอง	130
ภาคผนวก ค ตัวอย่างการคำนวณผลการทดลอง	133
ภาคผนวก ง การหาภาระที่เพลาล้อ	138
ภาคผนวก จ ตัวอย่างการคำนวณ	140
ภาคผนวก ฉ ตารางผลการทดลอง	145
ประวัติผู้เขียนวิทยานิพนธ์	180

จุฬาลงกรณ์มหาวิทยาลัย

สารบัญตาราง

	หน้า
ตารางที่ 5.1 การปรับเทียบ Torque transducer สำหรับวัดแรงบิดเครื่องยนต์	45
ตารางที่ 5.2 การปรับเทียบ Torque transducer สำหรับวัดแรงบิดที่เพลาล้อซ้าย	48
ตารางที่ 5.3 การปรับเทียบ Torque transducer สำหรับวัดแรงบิดที่เพลาล้อขวา	50
ตารางที่ ก.1 ข้อมูลจำเพาะของรถไถพรวนดินอนด้า รุ่น FA500	126
ตารางที่ ฉ.1 แรงบิดที่เพลาเข้าห้องส่งกำลังที่ทำให้เพลาล้อเริ่มหมุน (อุณหภูมิ室温) ในห้องส่งกำลัง 32°C	145
ตารางที่ ฉ.2 แรงบิดที่เพลาเข้าห้องส่งกำลังที่ทำให้เพลาล้อเริ่มหมุน (อุณหภูมิ室温) ในห้องส่งกำลัง 43.8°C	145
ตารางที่ ฉ.3 กำลังสูญเสียภายในระบบส่งกำลังที่เกียร์ 1	146
ตารางที่ ฉ.4 กำลังสูญเสียภายในระบบส่งกำลังที่เกียร์ 2	146
ตารางที่ ฉ.5 กำลังสูญเสียภายในระบบส่งกำลังที่เกียร์ 3	147
ตารางที่ ฉ.6 กำลังสูญเสียภายในระบบส่งกำลังที่เกียร์ 4	147
ตารางที่ ฉ.7 กำลังสูญเสียภายในระบบส่งกำลังที่เกียร์ 5	148
ตารางที่ ฉ.8 กำลังสูญเสียภายในระบบส่งกำลังที่เกียร์ 6	148
ตารางที่ ฉ.9 ผลการทดลองขณะมีภาระที่เพลาล้อแบบรถพ่วง เกียร์ 1	149
ตารางที่ ฉ.10 ผลการทดลองขณะมีภาระที่เพลาล้อแบบรถพ่วง เกียร์ 2	151
ตารางที่ ฉ.11 ผลการทดลองขณะมีภาระที่เพลาล้อแบบรถพ่วง เกียร์ 3	153
ตารางที่ ฉ.12 ผลการทดลองขณะมีภาระที่เพลาล้อแบบรถพ่วง เกียร์ 4	155
ตารางที่ ฉ.13 ผลการทดลองขณะมีภาระที่เพลาล้อแบบรถพ่วง เกียร์ 5	157
ตารางที่ ฉ.14 ผลการทดลองขณะมีภาระที่เพลาล้อแบบรถพ่วง เกียร์ 6	159
ตารางที่ ฉ.15 ผลการทดลองขณะมีภาระที่เพลาล้อแบบไถหัวหมู เกียร์ 1	161
ตารางที่ ฉ.16 ผลการทดลองขณะมีภาระที่เพลาล้อแบบไถหัวหมู เกียร์ 2	164
ตารางที่ ฉ.17 ผลการทดลองขณะมีภาระที่เพลาล้อแบบไถหัวหมู เกียร์ 3	167
ตารางที่ ฉ.18 ผลการทดลองขณะมีภาระที่เพลาล้อแบบล้อพรวนดิน เกียร์ 1	169
ตารางที่ ฉ.19 แรงที่ใช้ในการบีบคลัตช์บังคับเลี้ยวเมื่อไม่มีภาระที่เพลาล้อ เกียร์ 1	172
ตารางที่ ฉ.20 แรงที่ใช้ในการบีบคลัตช์บังคับเลี้ยวเมื่อไม่มีภาระที่เพลาล้อ เกียร์ 2	172
ตารางที่ ฉ.21 แรงที่ใช้ในการบีบคลัตช์บังคับเลี้ยวเมื่อไม่มีภาระที่เพลาล้อ เกียร์ 3	172
ตารางที่ ฉ.22 แรงที่ใช้ในการบีบคลัตช์บังคับเลี้ยวเมื่อไม่มีภาระที่เพลาล้อ เกียร์ 4	173
ตารางที่ ฉ.23 แรงที่ใช้ในการบีบคลัตช์บังคับเลี้ยวเมื่อไม่มีภาระที่เพลาล้อ เกียร์ 5	173
ตารางที่ ฉ.24 แรงที่ใช้ในการบีบคลัตช์บังคับเลี้ยวเมื่อไม่มีภาระที่เพลาล้อ เกียร์ 6	173

หน้า

ตารางที่ ฉ.25	แรงที่ใช้ในการบีบคลัตซ์บังคับเลี้ยวขณะมีภาระที่เพลาล้อเป็นลักษณะของการลากรถพ่วงที่เกียร์ 1	174
ตารางที่ ฉ.26	แรงที่ใช้ในการบีบคลัตซ์บังคับเลี้ยวขณะมีภาระที่เพลาล้อเป็นลักษณะของการลากรถพ่วงที่เกียร์ 2	175
ตารางที่ ฉ.27	แรงที่ใช้ในการบีบคลัตซ์บังคับเลี้ยวขณะมีภาระที่เพลาล้อเป็นลักษณะของการลากรถพ่วงที่เกียร์ 3	176
ตารางที่ ฉ.28	แรงที่ใช้ในการบีบคลัตซ์บังคับเลี้ยวขณะมีภาระที่เพลาล้อเป็นลักษณะของการลากรถพ่วงที่เกียร์ 4	177
ตารางที่ ฉ.29	แรงที่ใช้ในการบีบคลัตซ์บังคับเลี้ยวขณะมีภาระที่เพลาล้อเป็นลักษณะของการลากรถพ่วงที่เกียร์ 5	178
ตารางที่ ฉ.30	แรงที่ใช้ในการบีบคลัตซ์บังคับเลี้ยวขณะมีภาระที่เพลาล้อเป็นลักษณะของการลากรถพ่วงที่เกียร์ 6	179

ศูนย์วิทยทรัพยากร
จุฬาลงกรณ์มหาวิทยาลัย

สารบัญภาพ

หน้า

รูปที่ 1.1	แผนผังเพื่อส่งกำลังของรถไถเดินตามติดเครื่องพรวนขอบหมุน	2
รูปที่ 1.2	แผนผังเพื่อส่งกำลังของรถไถพรวนดินขนาดเล็กที่ใช้ในการศึกษาและทดลอง	3
รูปที่ 1.3	กำลังของเครื่องยนต์และเพลาล้อที่ความเร็วรอบเครื่องยนต์ขณะยังไม่ให้การเป็น 2350 รอบต่อนาที	6
รูปที่ 3.1	คลัตช์ชนิดดึงสายพาน	13
รูปที่ 3.2	แผนผังแสดงคลัตช์เสียดทานชนิดต่างๆ	16
รูปที่ 3.3	คลัตช์เสียดทานชนิดต่างๆ	17
รูปที่ 3.4	ส่วนประกอบของคลัตช์จาน	18
รูปที่ 3.5	คลัตช์เดือย	18
รูปที่ 3.6	คลัตช์เพ่อง	20
รูปที่ 3.7	คลัตช์ชนิดลูกปืน	21
รูปที่ 3.8	คลัตช์เพ่องดาวเคราะห์	22
รูปที่ 4.1	อุปกรณ์การเกษตรที่นำมาต่อพ่วงกับรถไถเดินตามชนิดลาก	23
รูปที่ 4.2	ตำแหน่งและทิศทางของแรงที่กระทำบนรถไถเดินตามและรถพ่วง	25
รูปที่ 4.3	ผังวัตถุอิสระของรถพ่วง	25
รูปที่ 4.4	ผังวัตถุอิสระของรถไถเดินตาม	27
รูปที่ 4.5	ลักษณะผลของไถหัวหมูแบบเอเชียและยุโรป	30
รูปที่ 4.6	ไถหัวหมูติดรถไถเดินตาม	32
รูปที่ 4.7	แรงภายนอกกระทำต่อรถไถเดินตามกับไถหัวหมู	33
รูปที่ 4.8	แรงภายนอกกระทำในแนวระดับ	33
รูปที่ 4.9	แรงภายนอกกระทำในแนวตั้ง	34
รูปที่ 4.10	ภาพด้านหลังรถไถเดินตามขณะไถดิน	35
รูปที่ 4.11	แรงภายนอกที่กระทำกับรถไถพรวนดิน	36
รูปที่ 5.1	ตัวอย่างการปรับเทียบอุปกรณ์วัดแรงบิดที่เพลาล้อ	41
รูปที่ 5.2	คานและที่แขวนดูมันหันก์ที่ใช้ในการปรับเทียบ	43
รูปที่ 5.3	การปรับเทียบ Torque transducer สำหรับวัดแรงบิดที่เพลาล้อข้างซ้าย	44
รูปที่ 5.4	ความสมพันธ์ระหว่างแรงบิดกับแรงเคลื่อนไฟฟ้าของอุปกรณ์วัดแรงบิดเครื่องยนต์	46

รูปที่ 5.5	การปรับเทียบ Torque transducer สำหรับวัดแรงบิดที่เพลาล้อข้างซ้าย	47
รูปที่ 5.6	การปรับเทียบ Torque transducer สำหรับวัดแรงบิดที่เพลาล้อข้างขวา	47
รูปที่ 5.7	ความสัมพันธ์ระหว่างแรงบิดกับแรงเคลื่อนไฟฟ้าของอุปกรณ์วัดแรงบิดที่เพลาล้อซ้าย	49
รูปที่ 5.8	ความสัมพันธ์ระหว่างแรงบิดกับแรงเคลื่อนไฟฟ้าของอุปกรณ์วัดแรงบิดที่เพลาล้อซ้าย	50
รูปที่ 5.9	การทดลองวัดแรงเสียดทานสติกิต	51
รูปที่ 5.10	การติดตั้ง Dial gauge เพื่อตรวจสอบการหมุนของเพลาล้อ	51
รูปที่ 5.11	การติดตั้งที่แขวนตุ้มนำหันกที่เพลาเข้าห้องส่งกำลัง	52
รูปที่ 5.12	การวัดอุณหภูมิของน้ำมันหล่อลื่นภายในห้องส่งกำลัง	52
รูปที่ 5.13	การติดตั้งชุดการทดลองวัดกำลังสูญเสียภายในห้องส่งกำลัง	54
รูปที่ 5.14	การติดตั้งเครื่องยนต์และ Torque transducer บนแท่นทดลอง	54
รูปที่ 5.15	การติดตั้งถังน้ำมันเชื้อเพลิงเข้ากับชุดวัดอัตราการไหลน้ำมันเชื้อเพลิง	55
รูปที่ 5.16	การต่อสายยางจากชุดวัดอัตราการไหลน้ำมันเชื้อเพลิงเข้าเครื่องยนต์	55
รูปที่ 5.17	การต่อเบรกเข้ากับเพลาล้อโดยใช้ Universal joint	56
รูปที่ 5.18	อุปกรณ์จับยึดคันคลัตช์บังคับเลี้ยว	57
รูปที่ 5.19	ชุดทดลองวัดแรงบีบคลัตช์บังคับเลี้ยว	58
รูปที่ 6.1	ผลของอุณหภูมน้ำมันหล่อลื่นต่อแรงเสียดทานสติกิตในห้องส่งกำลัง	60
รูปที่ 6.2	ความสัมพันธ์ระหว่างความเร็วรอบเครื่องยนต์กับกำลังสูญเสียและสิ้นเปลืองน้ำมันเชื้อเพลิง ที่เกียร์ 1	63
รูปที่ 6.3	ความสัมพันธ์ระหว่างความเร็วรอบเครื่องยนต์กับกำลังสูญเสียและสิ้นเปลืองน้ำมันเชื้อเพลิง ที่เกียร์ 2	63
รูปที่ 6.4	ความสัมพันธ์ระหว่างความเร็วรอบเครื่องยนต์กับกำลังสูญเสียและสิ้นเปลืองน้ำมันเชื้อเพลิง ที่เกียร์ 3	64
รูปที่ 6.5	ความสัมพันธ์ระหว่างความเร็วรอบเครื่องยนต์กับกำลังสูญเสียและสิ้นเปลืองน้ำมันเชื้อเพลิง ที่เกียร์ 4	64
รูปที่ 6.6	ความสัมพันธ์ระหว่างความเร็วรอบเครื่องยนต์กับกำลังสูญเสียและสิ้นเปลืองน้ำมันเชื้อเพลิง ที่เกียร์ 5	65
รูปที่ 6.7	ความสัมพันธ์ระหว่างความเร็วรอบเครื่องยนต์กับกำลังสูญเสียและสิ้นเปลืองน้ำมันเชื้อเพลิง ที่เกียร์ 6	65

	หน้า
รูปที่ 6.72 แรงที่ใช้ในการบีบคลัตช์บังคับเลี้ยวกรณีมีภาระที่เพลาล้อ เกียร์ 1 ล้อซ้าย	102
รูปที่ 6.73 แรงที่ใช้ในการบีบคลัตช์บังคับเลี้ยวกรณีมีภาระที่เพลาล้อ เกียร์ 1 ล้อขวา	103
รูปที่ 6.74 แรงที่ใช้ในการบีบคลัตช์บังคับเลี้ยวกรณีมีภาระที่เพลาล้อ เกียร์ 2 ล้อซ้าย	103
รูปที่ 6.75 แรงที่ใช้ในการบีบคลัตช์บังคับเลี้ยวกรณีมีภาระที่เพลาล้อ เกียร์ 2 ล้อขวา	104
รูปที่ 6.76 แรงที่ใช้ในการบีบคลัตช์บังคับเลี้ยวกรณีมีภาระที่เพลาล้อ เกียร์ 3 ล้อซ้าย	104
รูปที่ 6.77 แรงที่ใช้ในการบีบคลัตช์บังคับเลี้ยวกรณีมีภาระที่เพลาล้อ เกียร์ 3 ล้อขวา	105
รูปที่ 6.78 แรงที่ใช้ในการบีบคลัตช์บังคับเลี้ยวกรณีมีภาระที่เพลาล้อ เกียร์ 4 ล้อซ้าย	105
รูปที่ 6.79 แรงที่ใช้ในการบีบคลัตช์บังคับเลี้ยวกรณีมีภาระที่เพลาล้อ เกียร์ 4 ล้อขวา	106
รูปที่ 6.80 แรงที่ใช้ในการบีบคลัตช์บังคับเลี้ยวกรณีมีภาระที่เพลาล้อ เกียร์ 5 ล้อซ้าย	106
รูปที่ 6.81 แรงที่ใช้ในการบีบคลัตช์บังคับเลี้ยวกรณีมีภาระที่เพลาล้อ เกียร์ 5 ล้อขวา	107
รูปที่ 6.82 แรงที่ใช้ในการบีบคลัตช์บังคับเลี้ยวกรณีมีภาระที่เพลาล้อ เกียร์ 6 ล้อซ้าย	107
รูปที่ 6.83 แรงที่ใช้ในการบีบคลัตช์บังคับเลี้ยวกรณีมีภาระที่เพลาล้อ เกียร์ 6 ล้อขวา	108
รูปที่ 7.1 คลัตช์ชนิดลูกปืน	109
รูปที่ 7.2 คลัตช์ข้างหนึ่งที่มีเม็ดลูกปืนและกลไกของเหวนเลื่อน	109
รูปที่ 7.3 แรงกระทำที่คลัตช์ชนิดลูกปืน	110
รูปที่ 7.4 ตำแหน่งของแรงกระทำที่เขี้ยวของคลัตช์ชนิดลูกปืน	114
รูปที่ 7.5 การประมาณหน้าตัดเขี้ยวของคลัตช์ชนิดลูกปืนเป็นสี่เหลี่ยมคงที่	114
รูปที่ ก.1 แผนผังเพื่อระบบส่งกำลังของรถไถพรวนดินขนาดเล็ก	127
รูปที่ ก.2 กราฟแสดงสมรรถนะของเครื่องยนต์ Honda G200 ขนาด 5.5 แรงม้า	129

หน้า

รูปที่ ข.1	ชุดการทดลองวัดกำลังสูญเสีย ประสิทธิภาพการส่งกำลังและแรงที่ใช้บีบคลัตซ์บังคับเลี้ยว	130
รูปที่ ข.2	แท่นทดลองวัดกำลังสูญเสียและประสิทธิภาพการส่งกำลัง	130
รูปที่ ข.3	อุปกรณ์วัดอัตราการไหลของน้ำมันเชื้อเพลิง	131
รูปที่ ข.4	ชุดสายพาน	131
รูปที่ ข.5	ชุดเพิ่มภาระที่เพลาล้อ	132
รูปที่ ข.6	ชุดทดลองวัดแรงเสียดทานสถิต	132
รูปที่ ก.1	Data logger	133
รูปที่ ก.2	Tachometer	134
รูปที่ ก.3	Torque transducer ของเครื่องยนต์	134
รูปที่ ก.4	Torque amplifier	135
รูปที่ ก.5	Torque transducer ของเพลาล้อ	135
รูปที่ ก.6	หม้อแปลงไฟฟ้ากระแสตรง	136
รูปที่ ก.7	Digital strain bridge	136
รูปที่ ก.8	Dial gauge	137
รูปที่ ง.1	แรงกระทำที่ล้อรถไถ	138



ศูนย์วิทยทรัพยากร
จุฬาลงกรณ์มหาวิทยาลัย

คำอธิบายสัญลักษณ์

a	อัตราเร่งของรถไถเดินตาม
a ₁	ระยะของจุดศูนย์ถ่วงถึงแนวล้อรถไถเดินตาม
a ₂	ระยะของจุดศูนย์ถ่วงถึงแนวล้อรถพ่วง
b ₁	ระยะของจุดศูนย์กลางล้อถึงพื้นรถไถเดินตาม
b ₂	ระยะของจุดศูนย์กลางล้อถึงพื้นรถพ่วง
c	จุดตัดแกน Y ของกราฟ
f	ค่าสัมประสิทธิ์ความเสียดทาน
f ₁	แรงด้านทันการเคลื่อนที่
m	ค่าความชันของสมการเส้นตรง
m _G	อัตราทดเพื่องห้องระบบ
n	ความเร็วรอบเพลา
n ₃	ความเร็วรอบหมุนของเพลาเครื่องพรวนขอบหมุน
sfc	การสิ้นเปลืองน้ำมันเชื้อเพลิงจำเพาะ
w	ระยะจากจุดที่แรงกระทำถึงจุด C
x	ค่าแรงบิด
y	ค่าแรงเคลื่อนไฟฟ้าที่วัดได้จากอุปกรณ์วัดแรงบิด
BS	ค่าการลื่นของสายพาน
C	จุดที่เสียหายเนื่องจากโมเมนต์ดัด
C _L	สัมประสิทธิ์แรงยกจากการไถพรวน
C _T	สัมประสิทธิ์แรงดันจากการไถพรวน
D _b	ขนาดรูสวัมของตับลูกปืน
D _W	เส้นผ่าศูนย์กลางล้อรถไถพรวนเดิน
E	ค่าโมเมนตัสของยัง
E ₁	แรงเคลื่อนไฟฟ้าจากการปรับเทียบอุปกรณ์วัดแรงบิดที่เครื่องยนต์
E ₂	แรงเคลื่อนไฟฟ้าจากการปรับเทียบอุปกรณ์วัดแรงบิดที่เพลาล้อช้าย
E ₃	แรงเคลื่อนไฟฟ้าจากการปรับเทียบอุปกรณ์วัดแรงบิดที่เพลาล้อขวา
F	แรงที่เขี้ยวของคลัตช์กระทำกับลูกปืน
F _b	แรงกระทำกับตับลูกปืน
FC	การสิ้นเปลืองน้ำมันเชื้อเพลิง

FS	ค่าความปลอดภัย
I	โมเมนต์ความเนื้อย
K_d	ตัวประกอบการคูณในส่วนของผลศาสตร์
K_o	ตัวประกอบการคูณในส่วนของแรงกระแทก
M	โมเมนต์ดัดที่กระทำกับเขี้ยวคลัตช์ที่จุด C
N_a	ความเร็วรอบเพลาล้อ
N_e	ความเร็วรอบเพลาเครื่องยนต์
N_i	ความเร็วรอบเพลาเข้าห้องส่งกำลัง
P_a	กำลังที่เพลาล้อ
P_b	กำลังสูญเสียในตันลูกปืน
P_e	กำลังเครื่องยนต์
P_g	แรงจูงลากรวม
P_{in}	กำลังที่เข้าสู่ระบบส่งกำลัง
P_{loss}	กำลังที่สูญเสียไปภายในระบบส่งกำลัง
P_{out}	กำลังที่ออกจากระบบส่งกำลัง
Q	แรงที่แหวนเลื่อนกระทำกับลูกปืน
R	ความต้านทานการเคลื่อนที่รวม
	อัตราทดรอบระหว่างมุ่งเลื่อนเครื่องยนต์กับมุ่งเลื่อนเพลา เข้าห้องส่งกำลัง
R_F	แรงปฏิกิริยาที่ลูกปืนกระทำกับเขี้ยวของคลัตช์
R_H	แรงปฏิกิริยาดินกระทำต่อไถหัวหมูในแนวระดับ
R_1	แรงปฏิกิริยาที่พื้นกระทำกับล้อรถไถเดินตาม
R_2	แรงปฏิกิริยาที่พื้นกระทำกับล้อรถพ่วง
SG	ความถ่วงจำเพาะของน้ำมันเชื้อเพลิง
T_b	แรงบิดเนื่องจากความเสียดทานในตันลูกปืน
T_e	แรงบิดของเครื่องยนต์
T_{aL}	แรงบิดที่เพลาล้อซ้าย
T_{aR}	แรงบิดที่เพลาล้อขวา
T_{aT}	แรงบิดที่เพลาล้อรวม
T_1	แรงบิดจากการปรับเทียนอุปกรณ์วัดแรงบิดที่เครื่องยนต์
T_2	แรงบิดจากการปรับเทียนอุปกรณ์วัดแรงบิดที่เพลาล้อซ้าย
T_3	แรงบิดจากการปรับเทียนอุปกรณ์วัดแรงบิดที่เพลาล้อขวา
V	ความเร็วรถไถเดินตาม
W_A	น้ำหนักล้อรถไถเดินตาม

W_B	นำหนักล้อรถพ่วง
W_1	นำหนักรถไถเดินตาม
W_2	นำหนักรถพ่วง
Z_1	แรงขับเคลื่อนของรถไถเดินตาม
Z_2	แรงเสียดทานที่ล้อของรถพ่วง
α	มุขของแรงด้านทานรวมที่กระทำกับใบมีดพวนดิน
η	ประสิทธิภาพการส่งกำลัง
ν	อัตราส่วนปั่วซอง
θ	มุกกำหนดตำแหน่งของจุดศูนย์ถ่วงกรณีความลึก การพวนดินสูงสุด
σ_b	ความเค้นดัด
σ_c	ความเค้นอัด
σ_{uc}	ความเค้นอัดสูงสุด
σ_y	ความต้านแรงดึงคราก

ศูนย์วิทยาหัตถศิลป์ จุฬาลงกรณ์มหาวิทยาลัย